

La distribution spatiale des forces est dépendante des mouvements des câbles, effectuée en force sur l'ensemble des câbles au fil du temps.

Le facteur $\frac{d}{dt}$ à chaque pas de temps du processus de débattement des câbles plus rapide que $i_1(t)$.

La distribution spatiale des forces comme décrit en [13].

C'est toujours une superposition de trois composantes: une pseudo-continuité et deux pseudo-periodiques de fréquences f et $2f$ [19].

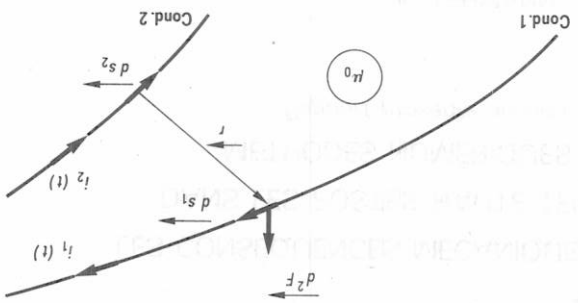
La fonction temporelle résultante $i_1(t) \cdot i_2(t)$

$$i_1(t) = \sqrt{2} I_{eff} [\sin(\omega t - y + \phi) + e^{-t/\tau} \sin(y - \Phi)] \quad (3)$$

La dépendance temporelle est liée à l'évaluation du courant de court-circuit sous la forme:

L'équation (1) montre que l'intensité locale de la force sur le conducteur 1 est le produit d'une fonction temporelle $i_1(t) \cdot i_2(t)$ et d'une fonction spatiale k que nous allons discuter.

FIG. 2 Force électromagnétique due à la constante magnétique H_0 dans le champ magnétique créé par des postes de courants permanents.



La force doit être calculée pour chaque paire de conducteurs.

Notons que (2) n'est pas réciprocue, cela est lié au fait que l'on ne considère que des éléments de conducteur.

ou A représente le produit vecteuriel.

$$\text{avec } K = H_0 \cdot \frac{4\pi}{ds_1} \frac{\vec{r}_3}{(ds_2 A_x)} \quad (2)$$

$$\frac{d^2F}{dt^2} = i_1(t) \cdot i_2(t) \cdot K \quad (1)$$

La formule (fig. 2) est placée dans un champ magnétique créé par un conducteur parcouru par un courant $i_2(t)$ qui connaît une force électromagnétique définie par

2 FORCES ELECTROMAGNETIQUES DE COURT-CIRCUIT

(2) et puis l'on décrit les méthodes numériques avec résultats expérimentaux est concluante en (5) et les conclusions en (6).

(2) et puis l'on décrit les méthodes numériques structures et les programmes (3) ainsi que les méthodes numériques de forces électromagnétiques de court-circuit.

Dans les paragraphes suivants, on discute des

- quelle est le "coup" de tels calculs?

- quelles sont les programmes disponibles les

- quelles méthodes préférer?

- que peut-on calculer?

solutions:

Le présent papier fournit aux ingénieurs de l'EHT. On discute spécialement des questions des courants de court-circuit dans les postes cibles pour l'évaluation des effets mécaniques de l'application de méthodes numériques concrètes dans une compétition aux techniques de l'ingénierie.

Les programmes disponibles pour les méthodes numériques utilisées que par les aussi bien par le modèle physique que par les méthodes différentes, un autre

que dans, importe quelle méthode résulte meilleure simulation permettre une approche discrète, numérique permettant adaptées aux calculateurs des effets des courants de court-circuit [6 - 10]. Bien qu'une sur la mise au point de programmes spécialement autre côté, quelques tentatives existent

entre sur les adaptés, par ex. ADINA [5].

Généralisation directe d'un programme par l'application simple. On ne peut le résoudre d'une manière satisfaisante

, est cependant pas un problème simple. Des postes à conducteurs flexibles et en faisceau

par les courants de court-circuit dans les

mécaniques (déplacements, contraintes) causées

crétées. L'évaluation précise des effets

coulbeurs électrostatiques sur des modèles dis-

a être possible grâce à l'utilisation des compléxes

récemment, l'analyse de structures complexes

1.2 Etat de la question en calculs informatiques

courants de défaut.

suite à l'accroissement des valeurs de ces

concept des postes à conducteurs flexibles

constituent le facteur principal dans la con-

Les effets mécaniques des courants-circuits

bon marché mais peut se justifier, surtout si

jours, l'utilisation d'un ordinateur n'est pas

toutes adaptées à ce genre de tâches. De nos

grâce aux ordinateurs de grande capacité

les méthodes de discrétilisation utiles

à caractére aléatoire. Il est evidemment que

seulement avec une précision suffisante de

est impratique de pouvoir évaluer leurs con-

trôle probabilité de tels défauts,

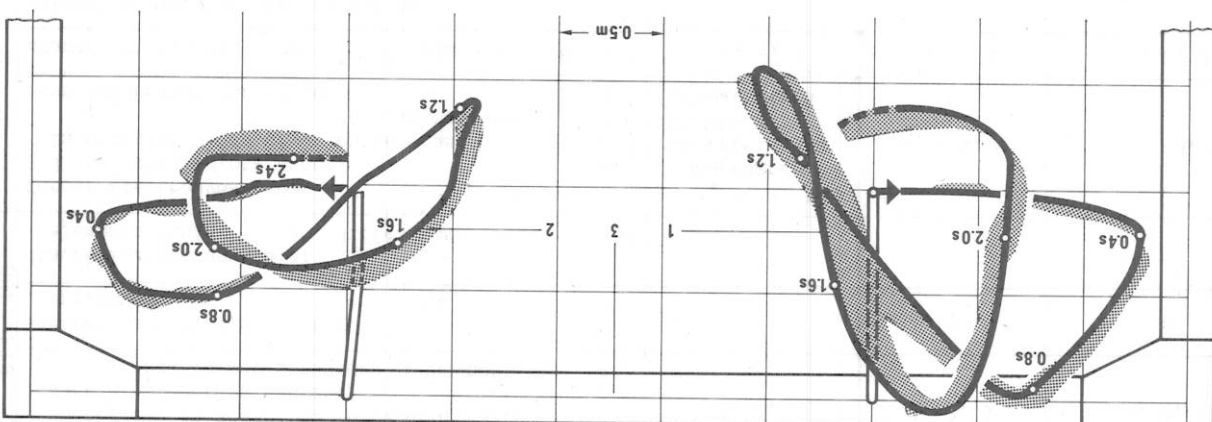
TABLEAU 1 Comparaison de quelques programmes performances analytiques Les effets mécaniques des courants de court-circuit dans les postes avec conducteurs flexibles

PROGRAMMES				ADINA	SACAE-CABLE	STANAN	INFORMATIONS GÉNÉRALES
programme développé et disponible à	M.I.T.	Université de Cambridge (USA)	Lége (Bellique) de Génacovite	Université technique			
réferences	[5], [6]	[9]-[11], [17]	[7], [8], [12], [18]				
génération de données : manuelle = 1 automat. = 2	1, 2	1, 2	1, 2				
discrétilation temporelle :	explicite = 1 implicite = 2	1, 2	1, 2	1, 2			
pas de temps :	optionnel = 1	1	1	1			
amortissement :	optionnel = 1 nul = 0	1	0	0			
résultats (sur listes d'ordinateur et/ou sous forme préparée) :		1	1	1			
discretisation unité :	matière optimelle, par ex. élast. ou plast. = 2	1, 2, 5	1, 3, 4, 5	1, 3, 4, 5			
éléments :	transmettant unité. forces axiales = 1	1	1	1			
disposition par phase simple :	multiplie = 1 double	1, 2, n, 3, 5, 6	1, 2, n, 3, 5, 6	1, 2, 3, 4			
discretisation spatiale :	avec contact pendant court-circuit = 4 avec contact portées = 5 dérivations = 6 connexion entre portées = 5 dérivations = 6	1, 2, n, 3, 5, 6	1, 2, n, 3, 5, 6	1, 2, n, 3, 5, 6			
conducteurs et chaînes d'ancre	multiple = 1 double avec contacts avec deux extrémités = 2 avec deux extrémités = 3 avec deux extrémités = 4 avec deux extrémités = 5 avec deux extrémités = 6	1, 2, n, 3, 5, 6	1, 2, n, 3, 5, 6	1, 2, n, 3, 5, 6			
structures de type A (fig. 1) :	structures en acier, de forme arbitraire = 1	1, 2, 3	1, 2, 3	1, 2, 3			
appareillage de type C (fig. 1) :	équivalent structure (condensateur) = 2 barres, structure entière = 1	1, 2, 3	1, 2, 3	1, 2, 3			
structures de type A (fig. 1) :	éléments fins = 1 différences fins = 2	1	1	1			
discretisation spatiale :	appareillage de type C (fig. 1) = 1 nul = 0	1	1	0			
STRUCTURES SUPPORTS	structures de type A (fig. 1) :	équivalent structure (condensateur) = 2 barres, structure entière = 1	1, 2, 3	1, 2, 3			
DISCRETISATION SPATIALE	éléments fins = 1 différences fins = 2	1	1	1			
CONDUCTEURS ET CHAÎNES D'ANCRAGE	discretisation spatiale :	éléments fins = 1 différences fins = 2	1	1	2		
disposition par phase simple :	éléments :	éléments fins = 1 différences fins = 2	1	1	1		
DISPLOSITION PAR PHASE	discretisation spatiale :	éléments :	éléments fins = 1 différences fins = 2	1	1	2	
STRUCTURES SUPPORTS	discretisation spatiale :	éléments :	éléments fins = 1 différences fins = 2	1	1	1	
CHARGES	discretisation spatiale :	éléments :	éléments fins = 1 différences fins = 2	1	1	1	

4.2 Programmes opératoires
Nous présentons ci-dessous très brièvement quelques programmes performances pour l'analyse hypothèses plates, des méthodes de discrétilation de ces programmes. Pour la comparaison des résultats peut être traitée plus ou moins par chaque programme, on se référera au tableau 1.

La figure 5 montre une disposition typique des aux courants de court-circuit. Les numériques des effets mécaniques dans les stations utilitaires et le champ des possiblités offertes à l'utilisatuer par chacun des postes, du aux courants de court-circuit.

FIG. 6 Déplacements des conducteurs au milieu de la porte. Courbes expérimentales avec bandes de divergence des résultats numériques.



Sur la base des résultats obtenus sur l'exemple précédent aux figures 6 à 10, nous voudrions faire quelques observations générales qui sont égale-

- indispensables pour une étude paramétrique,

- une source d'idée pour l'établissement de méthodes simples,

- une aide dans la compréhension des phéno-

mènes intérieurs au court-circuit,

- utiles et dans certaines structures à La base de la habillement, les nouvelles structures à reproduire en grand nombre sont à La base non habillées, les structures cas (les structures résultats obtenus par voie numérique sont :

5.2 Interprétation des résultats

phase au lieu d'un faisceau.

cette relative de la structure examinée par laquelle concordance est influencée par la simple-

masses additionnelles aux cotises 62.2 kg traverses HE-B240 EURONORM 53-62 colonnes HE-B260 EURONORM 53-62 hauteur nôtre 2.3 m portique total 2.3 m isolateurs C8-750 (norme CEI) sur fondation rigide, m = 8 kg, EA = 18.10⁶ N; et d'une chaîne d'isolat-

5 armement se composant d'un dispositif de 1 = 1.4 m,

4 dérivateurs de 5.0 m de longueur

3 dérivateurs de 5.6 m de longueur

1 porte est, tension initiale 7.85 kN

1 brins de cuivre

1...4 conducteur simple de 324 mm² composé de 19

conducteur en B la connexion de court-circuit.

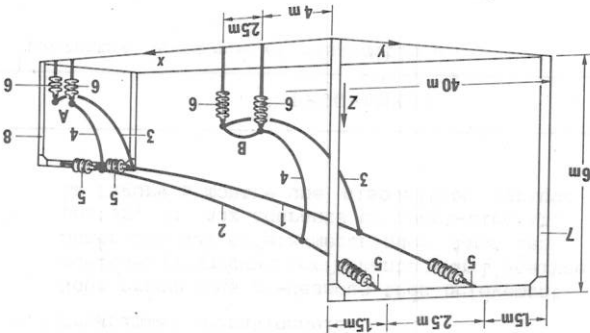
LABORILEC avec un courant $I_{eff} = 29.4 \text{ kA}$ (ciment =

72.7 kA), une constante de temps $T = 0.033 \text{ s}$, en A, amène au

duree de court-circuit de 0.8 s, en A, amène au

courant et en B la connexion de court-circuit.

FIG. 5 Section d'un poste extérieur, teste à



On peut justifier les différences de comportement des deux phases par la présence d'un effet de rétention. Il faut noter toutefois qu'une

cordance entre les résultats expérimentaux et ceux obtenus par voie numérique.

Les diagrammes montrent une excellente con-

- Les enregistrements n'ont pu être relevés du reste des points et les comparaisons

entre calibrés

- effet, on a répété le même test plusieurs fois et les appareils de mesure étaient

- Les résultats des tests sont fiables; en

II faut tout d'abord signaler que:

5.1 Vérification des résultats

- Le coût des tests s'accroît rapidement avec la complexité de l'exemple.

- avec des structures simples, il est plus ais

de saisir la physique du phénomène

- avec des postes recents, il est facile courant de

plastiques raisons qui peuvent justifier le choix

à ce modèle choisi sont d'un véritable niveau comparé à celui des postes recents. Il y a cependant

l'exposition et les dommages du court-circuit de au vu de la figure 5, on pourra croire que la

structure simple et le modèle courant de

plastiques sont identiques à ceux dans ce cas.

éte ajustées pour assurer la symétrie entre les

ratios des dérivations. Les dommages ont des

accidentes STANAN ne peut pas prendre en considé-

ration les dérivations. Les dommages sont identiques à ceux dans SAMCEP et STANAN une tenu

compte des radars dans SAMCEP et STANAN en adaptant les

fournit par les dommages du profil. On a tenu

avantageusement seulement 2/3 de leur radar théorique

éléments des structures; on a notamment remarqué que certains

excellents mais très onéreux tests [1].

Si l'on régit la évolution des contraintes depuis l'arrache jusqu'à aux fondations, le filtrage des hautes fréquences est peu important. La forme solide soit à un niveau comparable aux toises, etc... jusqu'à ce que l'approche entre centre souss-conducteurs, le sombre des entre parallèles des fascicules tels que la distance par conséquent de l'interprétation de l'influence des cibles et l'interprétation de l'influence des conducteurs par à plusieurs périodes les cal- rences dériver à plusieurs périodes. Géométrique pour vérifier si ces dernières remaniées pour rester valables si les postes sont équipés avec des fascicules plutôt qu'avec un seul conducteur par phase. Géométrique, il faudra pour autres tests et calculs sont nécessaires pour tenir compte sur les appareils sont modernes. Si les déplacements des conducteurs principaux ne tendent pas complètement les dérivations, ex. pour les isolateurs supports aux points d'ancrage.

tant vu la faible inertie des portiques, ce qui n'est pas toujours le cas en général, par contre les isolateurs supports aux points d'ancrage.

FIG. 10 Portique nord; moment de flexion dans la colonne ouest à $Z = 0.78$ m de la base

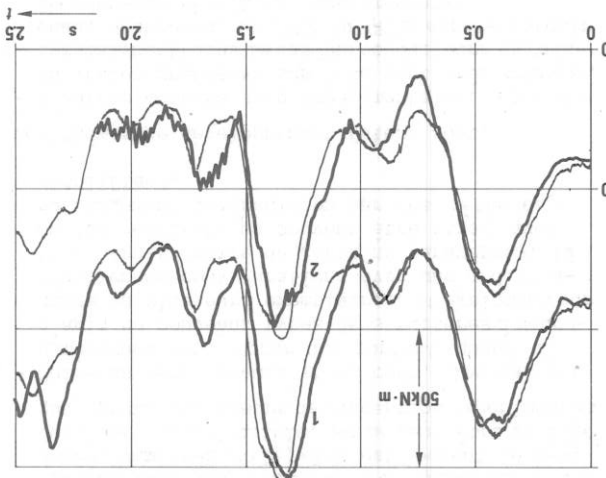
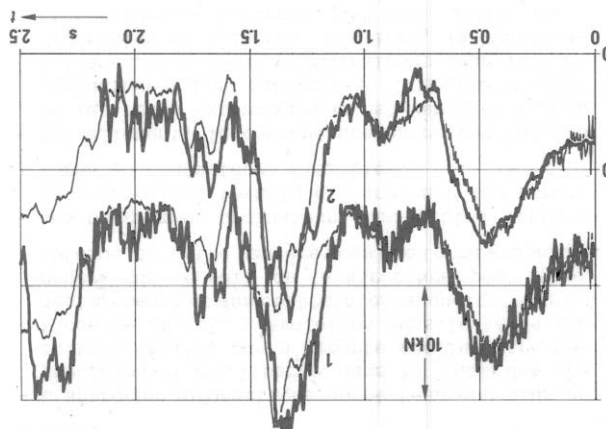


FIG. 8 Tension dans le conducteur ouest



Si l'on régit la évolution des contraintes depuis l'arrache jusqu'à aux fondations, le filtrage des hautes fréquences est peu important. La forme solide soit à un niveau comparable aux toises (coup de fouet).

La durée du court-circuit est un paramètre important pour l'énergie élastique des conducteurs. Une durée défavorable, comme celle d'isollement entre phases à un minimum suite du test, n'amène pas seulement la distance entre deux. Le premier point de retour de la flèche, plus du deuxième point de retour de la flèche, mais également entre phases à un minimum suite du test, n'amène pas seulement la distance entre deux. Le deuxième point de retour de la flèche cause également des contraintes au même instant, qui sont souvent très maximales.

Le filtre des forces de court-circuit est à la rigueur des portiques d'accrue sous l'échafaudement, à l'instabilité du conducteur vertical beaucoup plus élevée que la flèche permet horizontale maximum, qui peut atteindre les colonnes correspondant au premier dans conducteurs et les moments de flexion dans les premières crêtes de la tension dans les

FIG. 9 Portique nord; moment de flexion dans la colonne est à $Z = 0.78$ m de la base

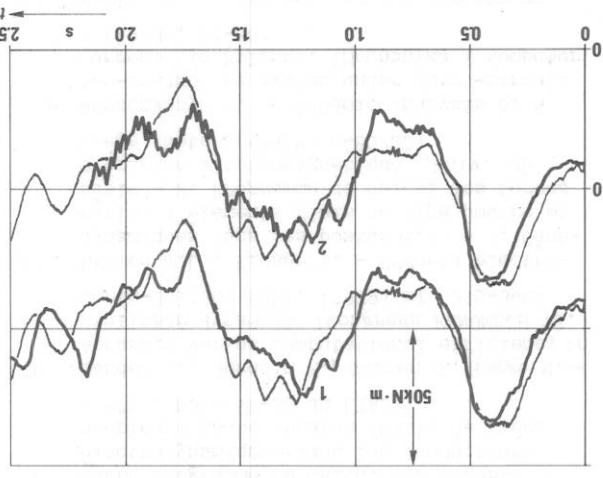
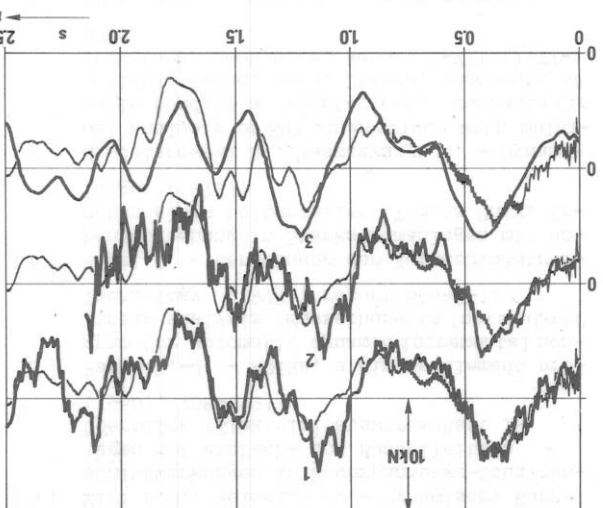


FIG. 7 Tension dans le conducteur est.



Session de 1982
Extrait de la Conference Internationale des Grands Reseaux Electriques

- [4] Mitr A.M., Hettich C. - Dynamische Kurzschlussrechnungen in Hochspannungs-Gehäusen mit Einflach- und Blindleitern - Überblick (Berichterstattungskonferenz 79 (1980), 708-712)
- [5] Batache K.-J. - ADINA, a finite element program for automatic analysis (Massachusetts Institute of Technology (1978), report 8248-1)
- [6] Biegel B. - Berechnung der Kurzschlussstrom- und Spannungsverteilung in Starkstromanlagen mit unbeeinflussten Leitern (1979) (Thesis Univ. Erlangen (1979))
- [7] Modzikowski A., Waszczyzyn Z. - Dynamical calculations of EHV substations with multi-cable boundaries at short-circuit currents (in Polish) (Techm. Univ. Krakow, Institute of Electrical Engineering (1977)) (Report I-VII (1977-80))
- [8] Olszowski B., Orkisz J., Waszczyzyn Z. - SMCER - outdoor substations at short-circuit currents in EHV calculations of mechanical effects in EHV substations at short-circuit currents (Review Electrotechnique 12 (1977), 275-285)
- [9] Robert G., Hogen M., Gerardin M. - SMCER - CABLE programme de calcul des efforts électrostatiques dans les conducteurs électrodynamiques dans les calculateurs de force (1979), Note VF-39 du LTAIS)
- [10] Sandier G., Gerardin M., Nyssen G., Hogen M. - Accuracy versus computation efficiency in non-linear dynamics (Congrès FENOLECH '78, North-Holland Publ. (1979) II, 315-340)
- [11] Littinen J.L., Kuser C. - Effects of electrostatic charges on two-conductor systems under short-circuit current (in Polish) (1978) (Note D (1978) 0480/22)
- [12] Waszczyzyn Z. - Ein Beitrag zur Berechnung dynamischer Analytis of a two-conductor system (in Polish). (Mechanika i Komputer (1978), 61-80)
- [13] Balleus H. - Ein Beitrag zur Berechnung der statischen Lösung eines Elektromagnetischen Problems (in Polish) (1976)
- [14] Batache K.-J., Wilson E.L. - Numerical Methods for the Finite Element Analysis of short-circuit currents in power systems (ETZ-A 90 (1969), 539-544)
- [15] Rousset P. - Numerical solution of static problems in power systems (in Polish) (1976)
- [16] Nemeth N.M. - A method of computation for structural dynamics (ASCE Journal. Engg. Mech. Div., 85 (1959), 65-94)
- [17] Unitv. de Lège - S.A.M.C.E.F. - Manuels théoriques et d'utilisation (1981)
- [18] Cichocki G., Orkisz J. - Application of techniques aerospaciales (1981)
- [19] Hosemann G. and Tsanakas D. - Dynamic short-circuit stress of busbar-structures with stiff conductors. Parametric studies and conclusions for simple calculation methods (Electra 68 (1980), 36-64)